

<b>Zeitschrift:</b>	Eclogae Geologicae Helvetiae
<b>Herausgeber:</b>	Schweizerische Geologische Gesellschaft
<b>Band:</b>	50 (1957)
<b>Heft:</b>	1
 <b>Artikel:</b>	Die Foraminiferen der Unterkreide von Trinidad, B.W.I. Teil 1, Cuche- und Toco-Formation
<b>Autor:</b>	Bartenstein, Helmut / Bettenstaedt, Franz / Bolli, Hans M.
<b>Anhang:</b>	Tafeln
<b>Autor:</b>	[s.n.]
<b>DOI:</b>	<a href="https://doi.org/10.5169/seals-162206">https://doi.org/10.5169/seals-162206</a>

#### **Nutzungsbedingungen**

Die ETH-Bibliothek ist die Anbieterin der digitalisierten Zeitschriften auf E-Periodica. Sie besitzt keine Urheberrechte an den Zeitschriften und ist nicht verantwortlich für deren Inhalte. Die Rechte liegen in der Regel bei den Herausgebern beziehungsweise den externen Rechteinhabern. Das Veröffentlichen von Bildern in Print- und Online-Publikationen sowie auf Social Media-Kanälen oder Webseiten ist nur mit vorheriger Genehmigung der Rechteinhaber erlaubt. [Mehr erfahren](#)

#### **Conditions d'utilisation**

L'ETH Library est le fournisseur des revues numérisées. Elle ne détient aucun droit d'auteur sur les revues et n'est pas responsable de leur contenu. En règle générale, les droits sont détenus par les éditeurs ou les détenteurs de droits externes. La reproduction d'images dans des publications imprimées ou en ligne ainsi que sur des canaux de médias sociaux ou des sites web n'est autorisée qu'avec l'accord préalable des détenteurs des droits. [En savoir plus](#)

#### **Terms of use**

The ETH Library is the provider of the digitised journals. It does not own any copyrights to the journals and is not responsible for their content. The rights usually lie with the publishers or the external rights holders. Publishing images in print and online publications, as well as on social media channels or websites, is only permitted with the prior consent of the rights holders. [Find out more](#)

**Download PDF:** 23.02.2026

**ETH-Bibliothek Zürich, E-Periodica, <https://www.e-periodica.ch>**

## EINFÜHRENDE BEMERKUNGEN ZU DEN TAFELN I-VIII

Der Vergrösserungs-Maßstab der dargestellten Foraminiferen wurde absichtlich recht einheitlich und nicht übergross gewählt, um möglichst innerhalb der beim Mikroskopieren von Mikrofossilien, speziell Kleinforaminiferen, üblichen Vergrösserungen zu liegen. Wir hoffen damit, dem Bearbeiter solcher Mikrofaunen einen Vergleich mit unseren Trinidad-Arten leichter zu machen, da nach unserer Meinung bei einem ständigen Wechsel der Abbildungs-Maßstäbe, vor allem bei einer Wahl extrem grosser oder extrem kleiner Vergrösserungen, der unmittelbare Kontakt mit der unter dem mikroskopischen Blickfeld liegenden Mikrofauna völlig verloren gehen kann. Als normalen Mikroskopier-Maßstab für Kleinforaminiferen darf man wohl vorwiegend 25:1 (bei grösseren) und 50:1 (bei kleineren Objekten) voraussetzen. Demzufolge bewegen sich unsere hier ausgewählten Vergrösserungen bei:

30:1 und 40:1 für die Tafeln I, II und III z. T. (sandschalige Foraminiferen);  
27:1 für die Tafeln III z. T. und IV (Gattung *Lenticulina*, grössere Gehäuse);  
zwischen 20:1 und 50:1 für die Tafeln V-VII (kalkschalige Foraminiferen verschiedener Gattungen und Grösse);  
55:1 für die Tafel VIII (*Globorotalites bartensteini intercedens*).

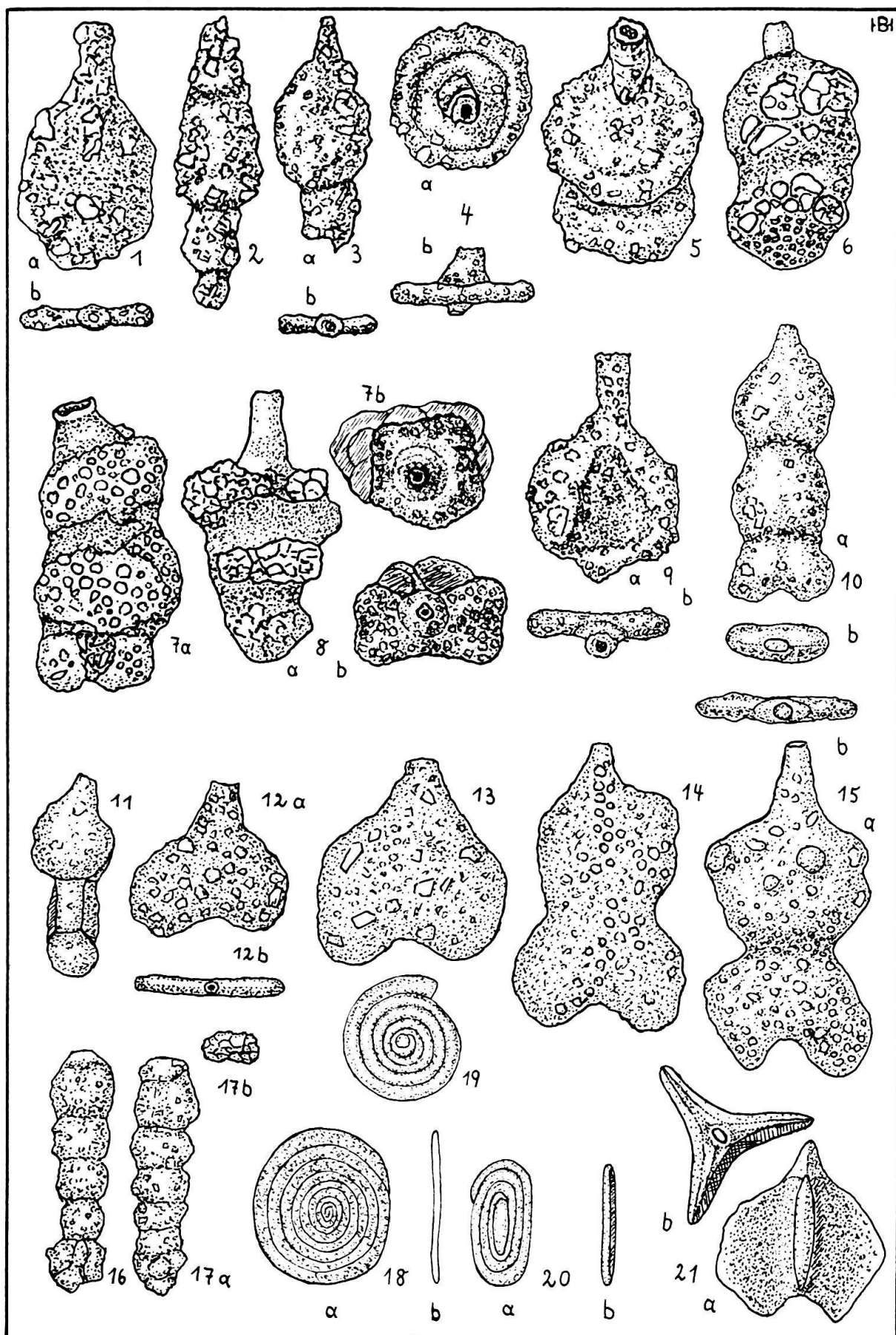
Selbst wenn einige wenige, besonders kleinwüchsige Arten dadurch nur sehr klein zur Wiedergabe gelangten, bitten wir dies entsprechend obigen Ausführungen zu verstehen.

Die Fotografien (Tafel IV-V) wurden z. T. durch Frl. B. LAIBLIN im Paläontologischen Laboratorium der Mobil Oil AG. in Deutschland, z. T. durch Dr. F. GOERLICH im Paläontologischen Laboratorium der Deilmann Bergbau GmbH. in Bentheim angefertigt.

Das abgebildete und beschriebene Belegmaterial (einschliesslich der Holotypen und Paratypoide) wird im Naturhistorischen Museum in Basel aufbewahrt (deren Sammlungsnummern – – Foraminiferenkatalog – – fortlaufend mit C 2108, 2109 usw. aufgeführt werden).

---

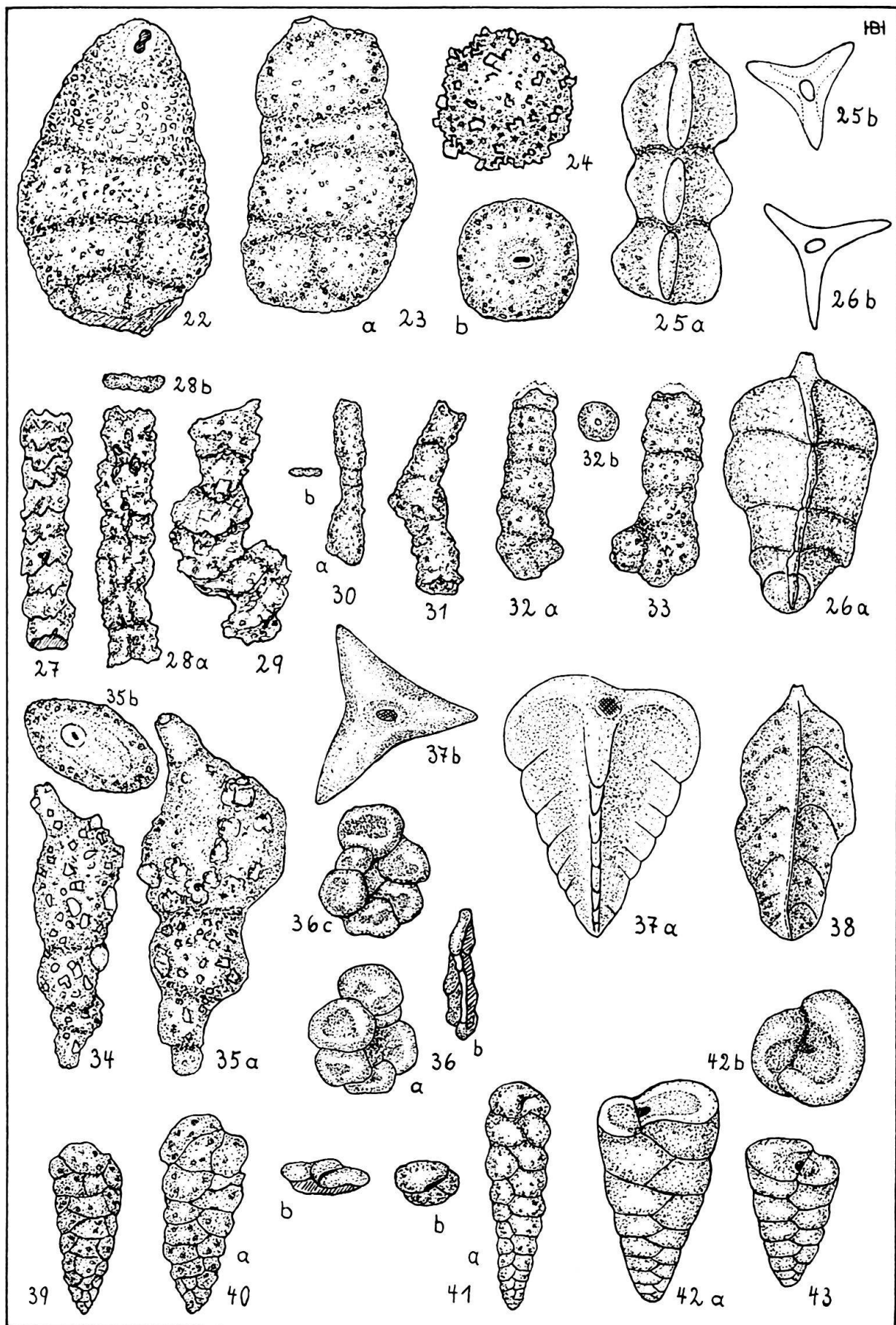
**ERKLÄRUNG ZU TAFEL I**  
**Sandschalige Foraminiferen aus der Unterkreide von Trinidad**  
(ausser Figur 18-20)  
sämtliche Figuren: Vergrösserung 40:1



ERKLÄRUNG ZU TAFEL II  
Sandschalige Foraminiferen aus der Unterkreide von Trinidad

Fig. 22, 23, 25–29, 34, 35, 37, 38: Vergr. 30:1  
Fig. 24, 30–33, 36, 39–43: Vergr. 40:1

Fig. 22–23. <i>Haplophragmium</i> cf. <i>aequale</i> (ROEMER 1841).		
Station Road. – 22, 23a: von vorn, 23b: von oben. – Länge 1,7 mm (Fig. 22), 1,5 mm (Fig. 23). – Bei Fig. 22 ist der Anfangsteil ausgebrochen. – C 2117/1–2 .	18	
Fig. 24. <i>Psammosphaera fusca</i> SCHULZE 1875.		
Remanié Boulder Bed. – Durchmesser: 0,45 mm. – C 2116 . . . . .	14	
Fig. 25. <i>Triplasia emslandensis emslandensis</i> BARTENSTEIN & BRAND 1951.		
Tabaquite-Nariva Road. – a) von vorn, Kantenaufsicht, b) von oben. – Länge: 1,3 mm. – C 2121 . . . . .	18	
Fig. 26, 38: <i>Triplasia emslandensis acuta</i> BARTENSTEIN & BRAND 1951.		
Station Road. – 26a, 38: von vorn, Kantenaufsicht, 26b: von oben. – Länge: 1,2 mm (Fig. 26), 1,22 mm (Fig. 38). – C 2122/1–2 . . . . .	18	
Fig. 27–29: <i>Rhizammina</i> sp.		
Plaisance Hill West. – 27, 28a, 29: von vorn, 28b: von oben. – Länge: 1,12 mm (Fig. 27), 1,2 mm (Fig. 28), 1,07 mm (Fig. 29). – C 2134/1–3 . . . . .	14	
Fig. 30–31. <i>Rhizammina indivisa</i> BRADY 1884.		
Remanié Boulder Bed. – 30a, 31: von vorn, 30b: von oben. – Länge: 0,52 mm (Fig. 30), 0,6 mm (Fig. 31). – C 2138/1–2 . . . . .	14	
Fig. 32–33: <i>Ammobaculites subcretaceus</i> CUSHMAN & ALEXANDER 1930.		
Tabaquite-Nariva Road. – 32a, 33: von vorn, 32b: von oben. – Länge: 0,6 mm (beide Gehäuse). – Bei beiden Gehäusen sind die Endkammern abgebrochen (in den Zeichnungen ergänzt!). – C 2141/1–2 . . . . .	17	
Fig. 34–35. <i>Reophax subfusiformis</i> EARLAND 1933.		
Tabaquite-Nariva Road. – 34, 35a: von Seite, 35b: von oben. – Länge 1,2 mm (Fig. 34), 1,5 mm. (Fig. 35). – C 2139/1–2 . . . . .	16	
Fig. 36. <i>Haplophragmoides concavus</i> (CHAPMAN 1892).		
Plaisance Hill West. – a) und c) von den beiden Seiten, b) von vorn, Kantenauf- sicht. – Grösster Durchmesser: 0,42 mm. – C 2142 . . . . .	16	
Fig. 37. <i>Tritaxia pyramidata</i> REUSS 1863.		
Station Road. – a) von Kante, b) von oben. – Länge: 1,05 mm. – C 2131 . . .	19	
Fig. 39–40. <i>Verneuilinoides neocomiensis</i> (MJATLIUK 1939).		
Tabaquite-Nariva Road. – 39, 40a: von vorn, 40b: von oben. – Länge: 0,55 mm (Fig. 39), 0,63 mm (Fig. 40). – C 2140/1–2 . . . . .	19	
Fig. 41. <i>Verneuilinoides subfiliformis</i> BARTENSTEIN 1952.		
Plaisance Hill West. – a) von vorn, b) von oben. – Länge: 0,73 mm. – C 2133 . .	19	
Fig. 42–43: <i>Marssonella</i> cf. <i>oxycona</i> (REUSS 1860).		
Tabaquite-Nariva Road. – 42a, 43: von vorn, schräg oben, 42b: von oben. – Länge: 0,75 mm (Fig. 42), 0,5 mm (Fig. 43). – C 2132/1–2 . . . . .	20	



### ERKLÄRUNG ZU TAFEL III

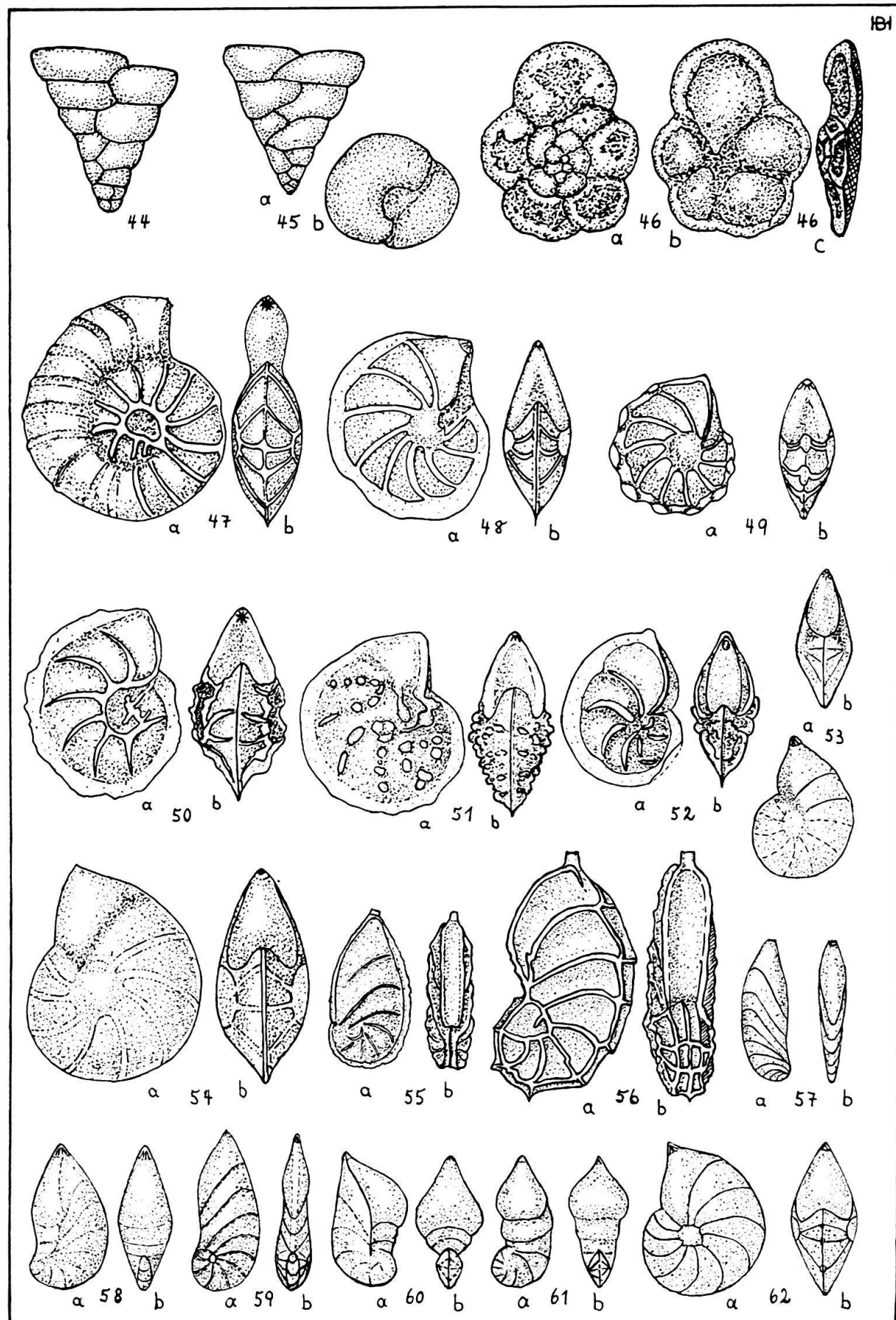
**Oberste Reihe (Figur 44–46): sandschalige Foraminiferen aus der Unterkreide von Trinidad**  
Vergr. 40:1

**Übrige Reihen (Figur 47–62): kalksehalige Foraminiferen, Gattung *Lenticulina* aus der Unterkreide von Trinidad.** Vergr. 27:1

Fig. 44–45.	<i>Marssonella</i> cf. <i>trochus</i> (ORBIGNY 1840).	
44:	Station Road. – Von vorn. – Länge: 0,53 mm. – C 2126.	
45:	Plaisance Hill West. – a) von vorn, b) von oben. – Länge: 0,5 mm. – C 2127 .	20
Fig. 46.	<i>Trochammina</i> sp. (n. sp.).	
	Plaisance Hill Ost. – a) Spiralseite, b) Umbilicarseite, c) von vorn. – Durchmesser: 0,72 mm. – C 2129/2 . . . . .	21

(In den folgenden Figuren 47–62 ist stets a) von der Seite und b) von vorn gezeichnet.)

Fig. 47.	<i>Lenticulina</i> (L.) <i>ouachensis</i> <i>multicella</i> n. subsp.	
	Remanié Boulder Bed. – Holotypus. – Durchmesser: 1,18 mm. – Es handelt sich um dasselbe Gehäuse wie auf Taf. 4, Figur 68. – C 2145/2 . . . . .	26
Fig. 48.	<i>Lenticulina</i> (L.) <i>praegaultina</i> n. sp.	
	Station Road. – Durchmesser: 1,04 mm. – Es handelt sich um dasselbe Gehäuse wie auf Taf. 4, Figur 63. – C 2143/1 . . . . .	24
Fig. 49.	<i>Lenticulina</i> (L.) <i>nodosa</i> (REUSS 1863).	
	Station Road. – Durchmesser: 0,72 mm. – Es handelt sich um dasselbe Gehäuse wie auf Taf. 4, Figur 66. – C 2144/2 . . . . .	24
Fig. 50.	<i>Lenticulina</i> (L.) <i>ouachensis</i> <i>ouachensis</i> (SIGAL 1952).	
	Remanié Boulder Bed. – Durchmesser: 0,98 mm. – Es handelt sich um dasselbe Gehäuse wie auf Taf. 4, Figur 71. – C 2147/2 . . . . .	25
Fig. 51.	<i>Lenticulina</i> (L.) <i>eichenbergi</i> BARTENSTEIN & BRAND 1951.	
	Tabaquite-Nariva Road. – Durchmesser: 1,04 mm. – Es handelt sich um dasselbe Gehäuse wie auf Taf. 4, Figur 74. – C 2151/2 . . . . .	27
Fig. 52.	<i>Lenticulina</i> (L.) cf. <i>ouachensis</i> (SIGAL 1952).	
	Station Road. – Durchmesser: 0,82 mm. – Es handelt sich um dasselbe Gehäuse wie auf Taf. 4, Figur 77. – C 2158 . . . . .	27
Fig. 53.	<i>Lenticulina</i> (L.) sp. 1.	
	Tabaquite-Nariva Road. – Durchmesser: 0,72 mm. – Es handelt sich um dasselbe Gehäuse wie auf Taf. 4, Figur 79. – C 2153/1 . . . . .	23
Fig. 54.	<i>Lenticulina</i> (L.) <i>münsteri</i> (ROEMER 1839).	
	Tabaquite-Nariva Road. – Durchmesser: 1,13 mm. – Es handelt sich um dasselbe Gehäuse wie auf Taf. 4, Figur 80. – C 2154/2 . . . . .	22
Fig. 55.	<i>Lenticulina</i> (A.) <i>crepidularis</i> (ROEMER 1842).	
	Station Road. – Länge: 0,8 mm. – Es handelt sich um dasselbe Gehäuse wie auf Taf. 4, Figur 83. – C 2148/1 . . . . .	29
Fig. 56.	<i>Lenticulina</i> (A.) <i>tricarinella</i> (REUSS 1863).	
	Station Road. – Länge: 1,23 mm. – Es handelt sich um dasselbe Gehäuse wie auf Taf. 4, Figur 84. – C 2149/1 . . . . .	30
Fig. 57.	<i>Lenticulina</i> (A.) <i>incurvata</i> (REUSS 1863).	
	Station Road. – Länge: 0,75 mm. – Es handelt sich um dasselbe Gehäuse wie auf Taf. 4, Figur 86. – C 2156 . . . . .	30
Fig. 58.	<i>Lenticulina</i> (A.) cf. <i>grata</i> (REUSS 1863).	
	Tabaquite-Nariva Road. – Länge: 0,75 mm. – Es handelt sich um dasselbe Gehäuse wie auf Taf. 4, Figur 87. – C 2155/1 . . . . .	30
Fig. 59.	<i>Lenticulina</i> (V.) <i>prima</i> (ORBIGNY 1849).	
	Plaisance Hill West. – Länge: 0,81 mm. – Es handelt sich um dasselbe Gehäuse wie auf Taf. 4, Figur 90. – C 2159/2 . . . . .	31
Fig. 60.	<i>Lenticulina</i> (S.) <i>frankei</i> DAM 1946.	
	Tabaquite-Nariva Road. – Länge: 0,56 mm. – C 2152/1 . . . . .	33
Fig. 61.	<i>Lenticulina</i> (S.) cf. <i>bronnii</i> (ROEMER 1841).	
	Plaisance Hill West. – Länge: 0,56 mm. – C 2166 . . . . .	33
Fig. 62.	<i>Lenticulina</i> (L.) sp. 3.	
	Plaisance Hill West. – Durchmesser: 0,72 mm. – Es handelt sich um eine indifferente <i>Lenticulina</i> -Form, die nicht zur Beschreibung gelangte, weil sie verschiedenen Arten zugeordnet werden könnte, am wahrscheinlichsten wohl zur Gruppe der <i>Lenticulina</i> (L.) <i>münsteri</i> (ROEMER 1839). – C 2161/1.	33

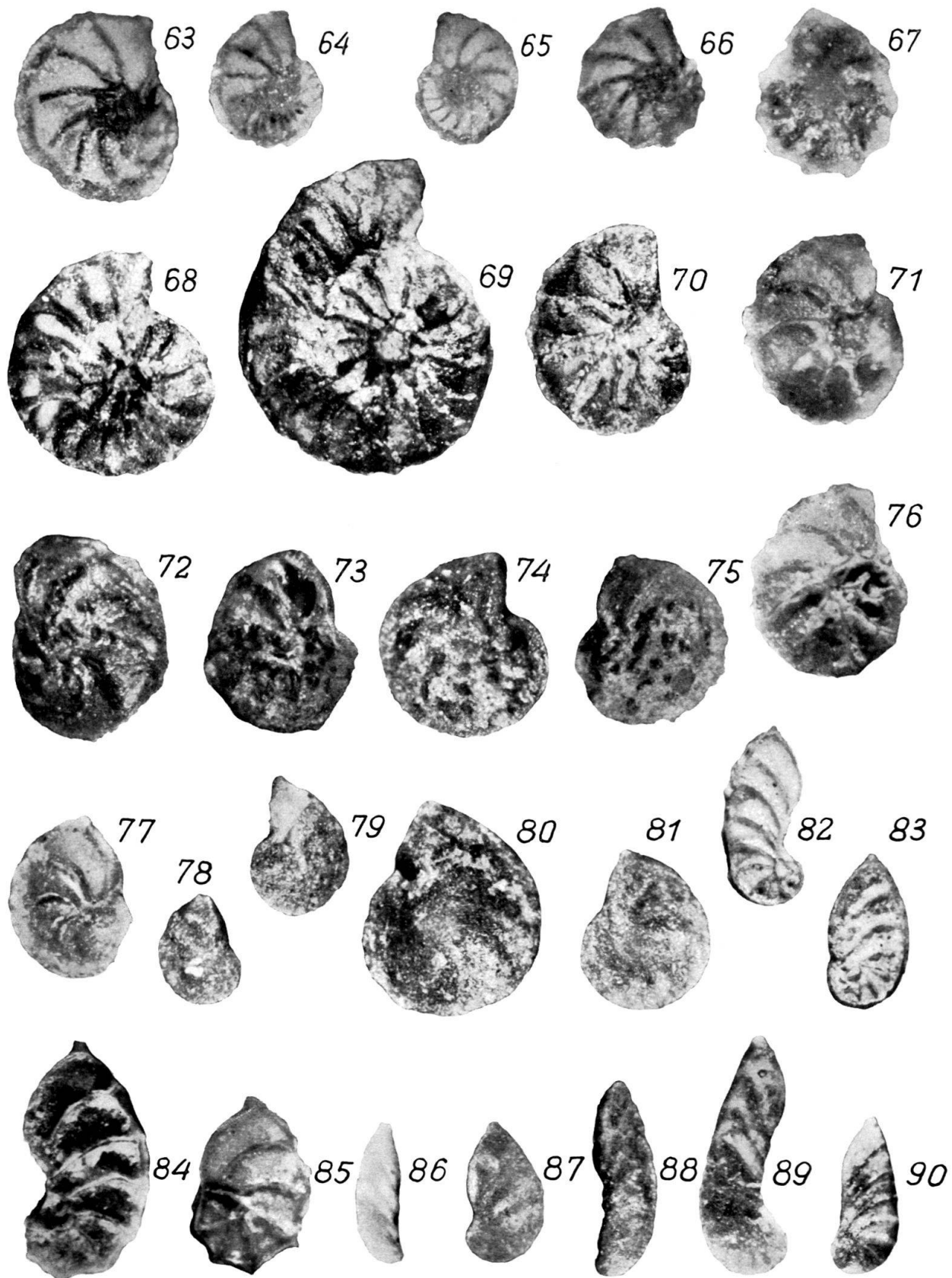


## ERKLÄRUNG ZU TAFEL IV

### Kalkschalige Foraminiferen der Gattung *Lenticulina* aus der Unterkreide von Trinidad

sämtliche Figuren sind von der Seite fotografiert. Vergr. 27:1

Fig. 63–65. <i>Lenticulina (L.) praugaultina</i> n. sp.	
Station Road. – 63: Holotypus. Durchmesser: 1,04 mm (= Taf. 3, Figur 48). – C 2143/1. – 64: Paratypoid. Durchmesser: 0,72 mm. – C 2143/3. – 65: Paratypoid. Durchmesser: 0,72 mm. – C 2143/2	24
Fig. 66–67. <i>Lenticulina (L.) nodosa</i> (REUSS 1863).	
Station Road. – 66: Durchmesser: 0,72 mm (= Taf. 3, Figur 49). – 67: Durchmesser: 0,9 mm. – C 2144/1–2	24
Fig. 68–69. <i>Lenticulina (L.) ouachensis multicella</i> n. subsp.	
Remanié Boulder Bed. – 68: Holotypus. Durchmesser: 1,18 mm (Taf. 3, Figur 47). – C 2145/2. – 69: Paratypoid. Durchmesser: 1,68 mm. – C 2145/1	26
Fig. 70. <i>Lenticulina (L.) ouachensis wisselmanni</i> BETTENSTAEDT 1952.	
Remanié Boulder Bed. – Durchmesser: 1,13 mm. – C 2146	26
Fig. 71, 76. <i>Lenticulina (L.) ouachensis ouachensis</i> (SIGAL 1952).	
Remanié Boulder Bed. – 71: Durchmesser: 0,98 mm (= Taf. 3, Figur 50). – 76: Durchmesser: 0,98 mm. – C 2147/1–2	25
Fig. 72–75. <i>Lenticulina (L.) eichenbergi</i> BARTENSTEIN & BRAND 1951.	
72–73: Plaisance Hill Ost. – 72: Durchmesser: 1,13 mm. – 73: Durchmesser: 0,98 mm. – C 2150/1–2.	
74–75: Tabaquite-Nariva Road. – 74: Durchmesser: 1,04 mm (= Taf. 3, Figur 51). – 75: Durchmesser: 0,83 mm. – C 2151/1–2	27
Fig. 77. <i>Lenticulina (L.) cf. ouachensis</i> (SIGAL 1952).	
Station Road. – Durchmesser: 0,82 mm (= Taf. 3, Figur 52). – C 2158	27
Fig. 78–79. <i>Lenticulina (L.)</i> sp. 1.	
Tabaquite-Nariva Road. – 78: Durchmesser: 0,55 mm. – 79: Durchmesser: 0,72 mm (= Taf. 3, Figur 53). – C 2153/1–2	23
Fig. 80–81. <i>Lenticulina (L.) münsteri</i> (ROEMER 1839).	
Tabaquite-Nariva Road. – 80: Durchmesser: 1,13 mm (= Taf. 3, Figur 54). – 81: Durchmesser: 0,81 mm. – C 2154/1–2	22
Fig. 82–83. <i>Lenticulina (A.) crepidularis</i> (ROEMER 1842).	
Station Road. – 82: Länge: 0,93 mm. – 83: Länge: 0,8 mm (= Taf. 3, Figur 55). – C 2148/1–2	29
Fig. 84–85. <i>Lenticulina (A.) tricarinella</i> (REUSS 1863).	
Station Road. – 84: Länge 1,23 mm (= Taf. 3, Figur 56). – 85: Länge: 0,9 mm. – C 2149/1–2	30
Fig. 86. <i>Lenticulina (A.) incurvata</i> (REUSS 1863).	
Station Road. – Länge: 0,75 mm (= Taf. 3, Figur 57). – C 2156	30
Fig. 87–88. <i>Lenticulina (A.) cf. grata</i> (REUSS 1863).	
Tabaquite-Nariva Road. – 87: Länge: 0,75 mm (= Taf. 3, Figur 58). – 88: Länge: 1,02 mm. – C 2155/1–2	30
Fig. 89–90. <i>Lenticulina (V.) prima</i> (ORBIGNY 1849).	
Plaisance Hill West. – 89: Länge: 1,23 mm. – 90: Länge: 0,81 mm (= Taf. 3, Figur 59). – C 2159/1–2	31



## ERKLÄRUNG ZU TAFEL V

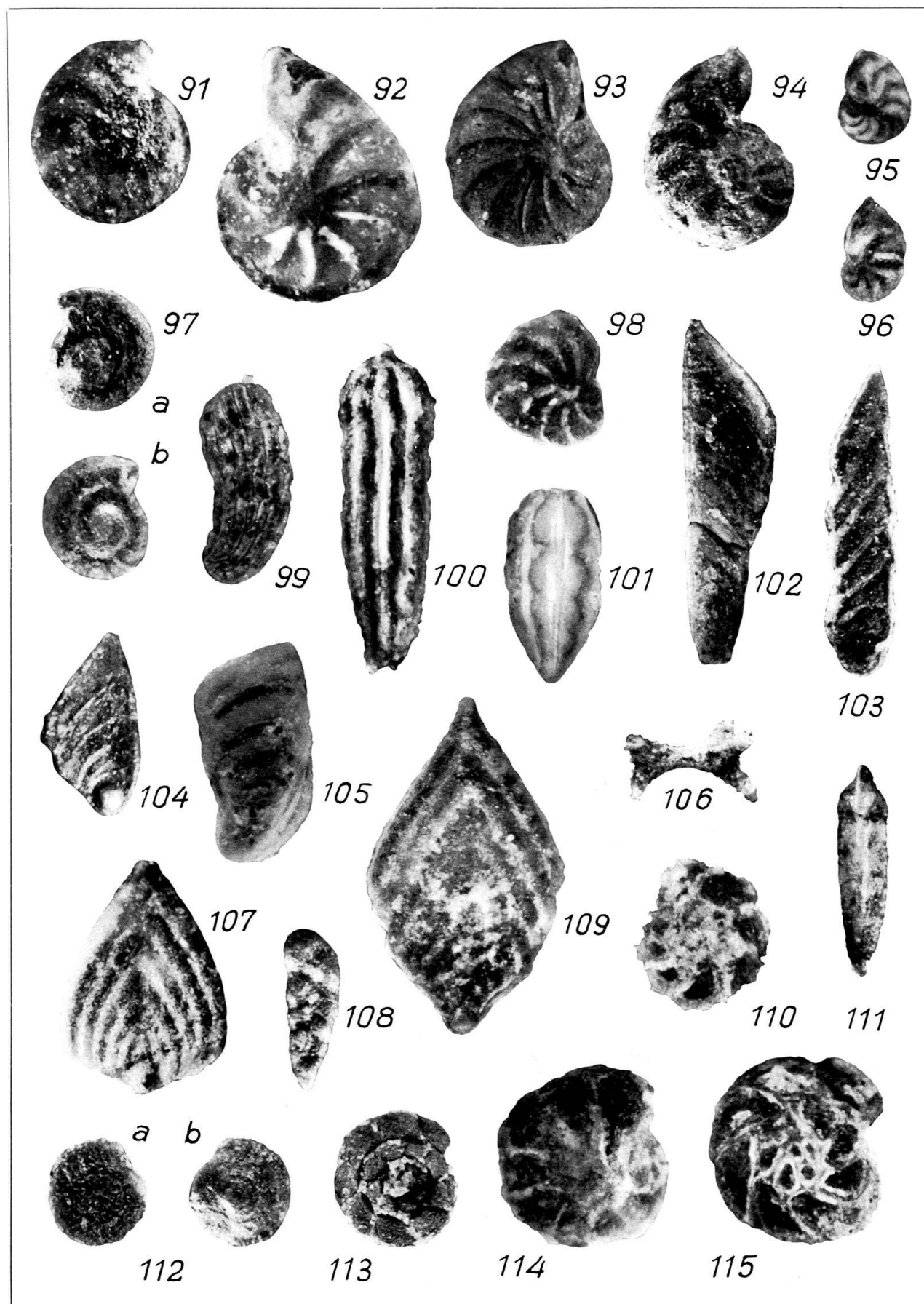
### Kalkschalige Foraminiferen verschiedener Gattungen aus der Unterkreide von Trinidad

Überwiegende Zahl der Figuren: Vergr. etwa 35:1

Ausnahmen: Fig. 94, 98, 103, 109 etwa 30:1;

Fig. 102 etwa 20:1

Fig. 91. <i>Lenticulina (L.) cultrata</i> (MONTFORT 1808).	23
Tabaquite-Nariva Road. – Durchmesser: 0,81 mm. – Der breite Kielsaum kommt durch die sekundäre Verkrustung des Gehäuses in der Fotografie nicht zur Geltung. – C 2182.	23
Fig. 92. <i>Lenticulina (L.) subalata</i> (REUSS 1854).	23
Plaisance Hill West. – Durchmesser: 1,04 mm. – C 2176	23
Fig. 93. <i>Lenticulina (L.) römeri</i> (REUSS 1863).	23
Remanié Boulder Bed. – Durchmesser: 0,9 mm. – C 2163/1	23
Fig. 94. <i>Lenticulina (L.)</i> sp. 2.	29
Remanié Boulder Bed. – Länge: 0,92 mm (= Taf. 6, Figur 117). – C 2165/1	29
Fig. 95. <i>Lenticulina (L.) kugleri</i> n. sp.	27
Plaisance Hill West. – Länge: 0,42 mm (= Taf. 6, Figur 116). – C 2160/1	27
Fig. 96. <i>Lenticulina (L.)</i> cf. <i>kugleri</i> n. sp.	28
Toco Bay. – Länge: 0,45 mm (= Taf. 6, Figur 119). – C 2170/1	28
Fig. 97. <i>Lenticulina (L.) barri</i> n. sp.	28
Toco Bay. – a) und b) von den beiden Seiten. – Durchmesser: 0,5 mm (= Taf. 6, Figur 118). – C 2169/1	28
Fig. 98. <i>Lenticulina (L.) guttata</i> (DAM 1946).	27
Toco Bay. – Länge: 0,65 mm. – C 2171	27
Fig. 99. <i>Lenticulina (M.) sigali</i> n. sp.	32
Station Road. – Länge: 0,94 mm (Querschnitt: Taf. 6, Figur 130). – C 2183/1	32
Fig. 100. <i>Marginulina pyramidalis</i> (KOCH 1851).	34
Plaisance Hill Ost. – Länge: 1,38 mm. – In der Abbildung kommt die exzentrische ( <i>Marginulina</i> -eigentümliche) Lage der Mündung nicht zum Ausdruck (siehe hierzu Querschnitt: Taf. 6, Figur 132). Die Anfangskammer ist abgebrochen. – C 2191/1	34
Fig. 101. <i>Nodosaria obscura</i> REUSS 1845–46.	36
Station Road. – Länge: 0,81 mm. – C 2200/1	36
Fig. 102. <i>Vaginulina procera</i> ALBERS 1952.	39
Station Road. – Länge: 2,46 mm (Querschnitt: Taf. 6, Figur 133). – Die Anfangskammer ist abgebrochen. – C 2213	39
Fig. 103. <i>Vaginulina recta</i> REUSS 1863.	38
Plaisance Hill West. – Länge: 1,38 mm (Querschnitt: Taf. 6, Figur 134). – Es handelt sich hier um ein aberrantes Gehäuse, wogegen ein normal-gewachsenes Gehäuse auf Taf. 6, Figur 135 a, b abgebildet wird. – C 2179/2	38
Fig. 104. <i>Vaginulina arguta</i> REUSS 1860.	38
Toco Bay. – Länge: 0,78 mm (Querschnitt: Taf. 6, Figur 136). – C 2194	38
Fig. 105. <i>Vaginulina kochii</i> ROEMER 1841.	38
Station Road. – Länge: 0,92 mm (Querschnitt: Taf. 6, Figur 124). – C 2174/2	38
Fig. 106. <i>Ramulina spandeli</i> PAALZOW 1917.	42
Plaisance Hill West. – Länge: 0,55 mm. – C 2212/1	42
Fig. 107. <i>Froندicularia</i> sp. 1.	39
Station Road. – Länge: 0,98 mm (siehe auch: Taf. 6, Figur 137). – C 2189/1	39
Fig. 108. <i>Bolivina textilariooides</i> REUSS 1863.	42
Toco Bay. – Länge: 0,7 mm (siehe auch: Taf. 6, Figur 140). – C 2193/2	42
Fig. 109. <i>Froندicularia</i> sp. 2.	40
Tabaquite-Nariva Road. – Länge: 1,6 mm (siehe auch: Taf. 6, Figur 138). – C 2198/1	40
Fig. 110. <i>Epistomina [Brotzenia] ornata</i> (ROEMER 1841).	46
Station Road. – Spiralseite. – Durchmesser: 0,65 mm. – C 2216/2	46
Fig. 111. <i>Tristix acutangula</i> (REUSS 1863).	37
Toco Bay. – Länge: 0,84 mm (Querschnitt: Taf. 6, Figur 139). – C 2219/1	37
Fig. 112. <i>Trocholina infragranulata</i> NOTH 1951.	44
Toco Bay. – a) von unten, b) von oben. – Durchmesser: 0,45 mm (Querschnitt: Taf. 6, Figur 141). – C 2192/1	44
Fig. 113. <i>Epistomina [Höglundina] caracolla caracolla</i> (ROEMER 1841).	46
Plaisance Hill West. – Spiralseite. – Durchmesser: 0,61 mm. – C 2215/4	46
Fig. 114. <i>Epistomina [Höglundina] caracolla caracolla</i> (ROEMER 1841).	46
Station Road. – Umbilicarseite. – Durchmesser: 0,81 mm (Querschnitt: Taf. 6, Figur 142). – C 2215/1	46
Fig. 115. <i>Epistomina [Brotzenia] ornata</i> (ROEMER 1841).	46
Station Road. – Spiralseite. – Durchmesser: 0,81 mm (Querschnitt: Taf. 6, Figur 143). – C 2216/1	46



## ERKLÄRUNG ZU TAFEL VI

### Kalkschalige Foraminiferen verschiedener Gattungen aus der Unterkreide von Trinidad

(vorwiegend Ergänzungsabbildungen zu den Figuren der Tafel 5)

Überwiegende Zahl der Figuren: Vergr. 40:1

Ausnahmen: Fig. 117, 120, 135, 137, 138 Vergr. 35:1; Fig. 121, 123, 125, 140 Vergr. 50:1

**Fig. 116. *Lenticulina* (L.) *kugleri* n. sp.**

Plaisance Hill West. – a) von Seite, b) von vorn. – Es handelt sich um dasselbe Gehäuse wie auf Taf. 5, Figur 95. – C 2160/1 . . . . . 27

**Fig. 117. *Lenticulina* (L.) sp. 2.**

Remanié Boulder Bed. – a) von Seite, b) von vorn. – Es handelt sich um dasselbe Gehäuse wie auf Taf. 5, Figur 94. – C 2165/1 . . . . . 29

**Fig. 118. *Lenticulina* (L.) *barri* n. sp.**

Toco Bay. – a) von Seite, b) von vorn. – Es handelt sich um dasselbe Gehäuse wie auf Taf. 5, Figur 97 a, b. – C 2169/1 . . . . . 28

**Fig. 119. *Lenticulina* (L.) cf. *kugleri* n. sp.**

Toco Bay. – a) von Seite, b) von vorn. – Es handelt sich um dasselbe Gehäuse wie auf Taf. 5, Figur 96. – C 2170/1 . . . . . 28

**Fig. 120. *Lenticulina* (V.) *matutina* (ORBIGNY 1849).**

Remanié Boulder Bed. – a) von Seite, b) von vorn. – Länge: 1,07 mm. – C 2164/1 31

**Fig. 121. *Lenticulina* (M.) cf. *gracilissima* (REUSS 1863).**

Remanié Boulder Bed. – a) von Seite, b) von oben. – Länge: 0,28 mm. – C 2167/1 31

**Fig. 122. *Lenticulina* (M.) sp.**

Tabaquite-Nariva Road. – a) von Seite, b) von oben. – Länge: 0,62 mm. – C 2168/1

**Fig. 123. *Lenticulina* (S.) sp.**

Toco Bay. – a) von Seite, b) von oben. – Länge: 0,31 mm. – C 2173/1 . . . . . 33

**Fig. 124. *Vaginulina kochii* ROEMER 1841.**

Station Road. – Querschnitt (Gehäuse von vorn: Taf. 5, Figur 105). – C 2174/2 38

**Fig. 125. *Nodosaria* cf. *zippei* REUSS 1845–46.**

Toco Bay. – a) von vorn, b) von oben. – Länge: 0,28 mm. – C 2175 . . . . . 36

**Fig. 126–127. *Nodosarella rohri* n. sp.**

Tabaquite-Nariva Road. – a) von vorn, b) von oben. – Länge: 0,7 mm (Fig. 126: Holotypus), 0,6 mm (Fig. 127: Paratypoid). – b) jeweils Vergr. 80:1. – C 2177/1–2 43

**Fig. 128. *Dentalina nana* REUSS 1863.**

Tabaquite-Nariva Road. – a) von vorn, b) von oben. – Länge: 0,9 mm. – C 2178/1. 35

**Fig. 129. *Nodosaria obscura* REUSS 1845–46.**

Station Road. – Von oben (Gehäuse von vorn: Taf. 5, Figur 101). – C 2200/1 . . 36

**Fig. 130–131. *Lenticulina* (M.) *sigali* n. sp.**

Station Road. – 130: Holotypus. Von oben (Gehäuse von vorn: Taf. 5, Figur 99). – 131: Paratypoid. – a) von vorn, b) von oben. – Länge: 0,9 mm. – C 2183/1–2. . 32

**Fig. 132. *Marginulina pyramidalis* (KOCHE 1851).**

Plaisance Hill Ost. – Von oben (Gehäuse von vorn: Taf. 5, Figur 100). – C 2191/1 34

**Fig. 133. *Vaginulina procera* ALBERS 1952.**

Station Road. – Querschnitt (Gehäuse von vorn: Taf. 5, Figur 102). – C 2213. . 39

**Fig. 134. *Vaginulina recta* REUSS 1863.**

Plaisance Hill West. – Querschnitt (Gehäuse von vorn: Taf. 5, Figur 103). – C 2179/2 38

**Fig. 135. *Vaginulina recta* REUSS 1863.**

Tabaquite-Nariva Road. – a) von Seite, b) von oben. – Länge: 1,13 mm. – Es handelt sich um ein normal-gewachsenes Gehäuse, wogegen ein aberrantes Gehäuse auf Taf. 5, Figur 103 abgebildet wird. – C 2179/1 . . . . . 38

**Fig. 136. *Vaginulina arguta* REUSS 1860.**

Toco Bay. – Querschnitt (Gehäuse von vorn: Taf. 5, Figur 104). – C 2194 . . . 38

**Fig. 137. *Frondicularia* sp. 1.**

Station Road. – a) von vorn, b) von der Kante. – Es handelt sich um dasselbe Gehäuse wie auf Taf. 5, Figur 107. – C 2189/1 . . . . . 39

**Fig. 138. *Frondicularia* sp. 2.**

Tabaquite-Nariva Road. a) von vorn, b) von der Kante. – Es handelt sich um das-selbe Gehäuse wie auf Taf. 5, Figur 109. – C 2198/1 . . . . . 40

**Fig. 139. *Tristix acutangula* (REUSS 1863).**

Toco Bay. – Querschnitt (Gehäuse von vorn: Taf. 5, Figur 111). – C 2219/1 . . 37

**Fig. 140. *Bolivina textilaroides* REUSS 1863.**

Toco Bay. – Von oben (siehe auch: Taf. 5, Figur 108). – C 2193/2 . . . . . 42

**Fig. 141. *Trocholina infragranulata* NOTH 1951.**

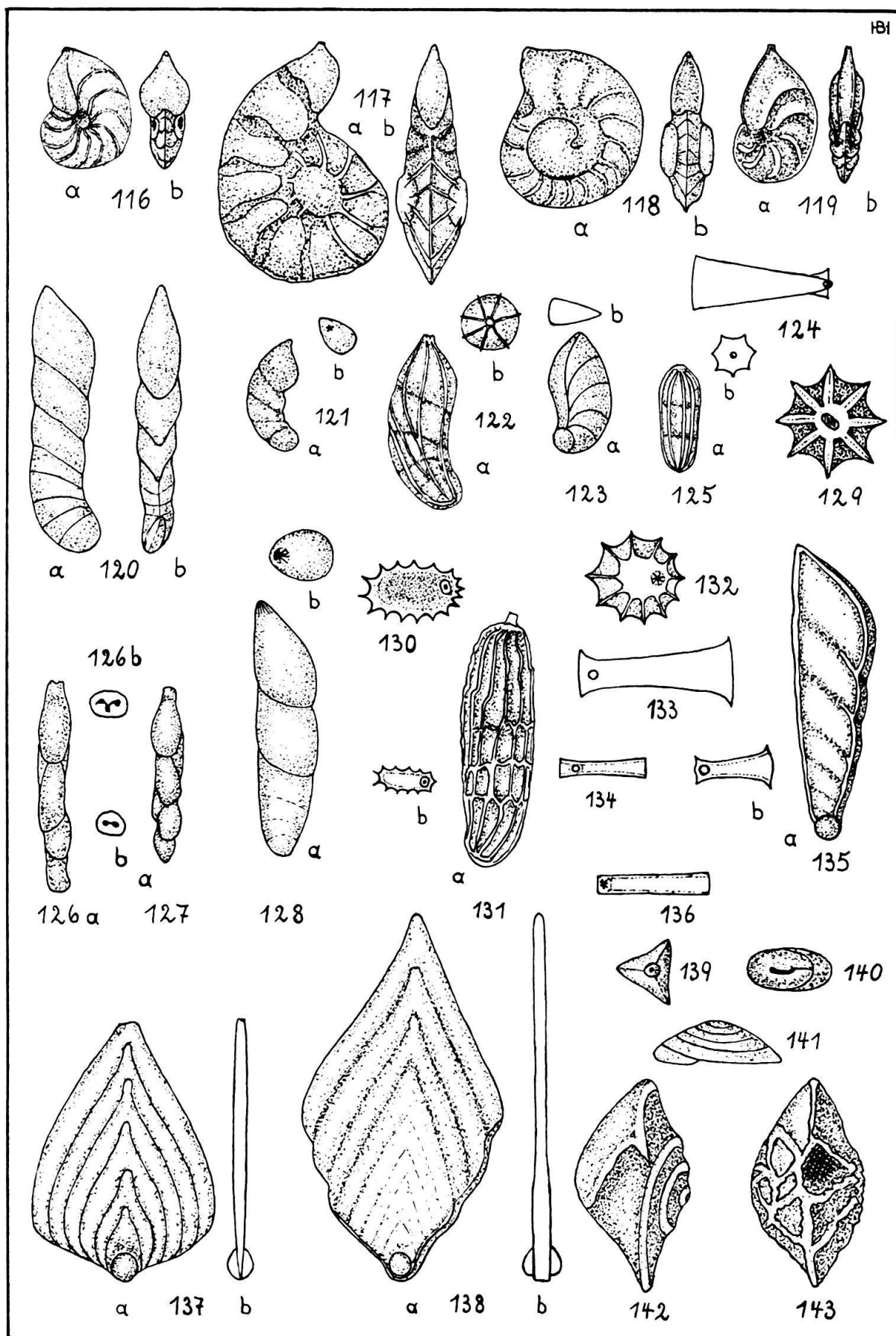
Toco Bay. – Querschnitt (Gehäuse von oben und unten: Taf. 5, Figur 112). – C 2192/1 44

**Fig. 142. *Epistomina* [*Höglundina*] *caracolla* *caracolla* (REUSS 1841).**

Station Road. – Querschnitt (Umbilicarseite: Taf. 5, Figur 114). – C 2215/1 . . 46

**Fig. 143. *Epistomina* [*Brotzenia*] *ornata* (REUSS 1841).**

Station Road. – Querschnitt (Spiralseite: Taf. 5, Figur 115). – C 2216/1 . . . . . 46



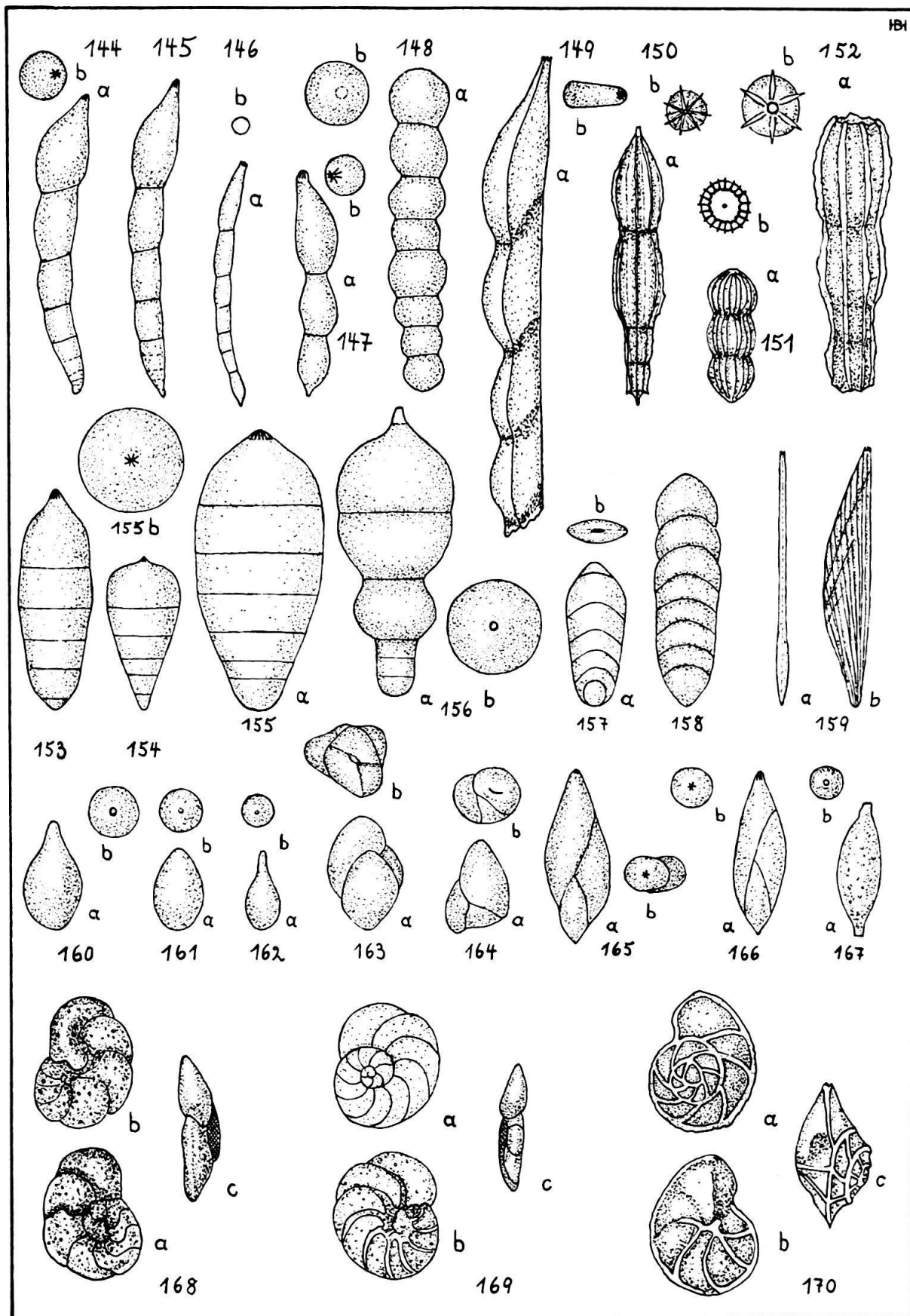
## ERKLÄRUNG ZU TAFEL VII

### Kalkschalige Foraminiferen verschiedener Gattungen aus der Unterkreide von Trinidad

Überwiegende Zahl der Figuren: Vergr. 40:1

Ausnahmen: Fig. 160–164, 166–170 Vergr. 50:1

Fig. 144–145. <i>Dentalina communis</i> ORBIGNY 1826.	34
Plaisance Hill West. – 144a, 145: von vorn, 144b: von oben. – Länge: 1,02 mm (Fig. 144), 1,07 mm (Fig. 145). – C 2184/1–2 . . . . .	34
Fig. 146. <i>Dentalina gracilis</i> ORBIGNY 1839.	34
Plaisance Hill West. – a) von vorn, b) von oben. – Länge: 0,8 mm. – C 2185 . .	34
Fig. 147. <i>Dentalina subguttifera</i> BARTENSTEIN 1952.	34
Tabaquite-Nariva Road. – a) von vorn, b) von oben. – Länge: 0,77 mm. – C 2186/2	34
Fig. 148. <i>Dentalina linearis</i> (ROEMER 1841).	35
Tabaquite-Nariva Road. – a) von vorn, b) von oben. – Länge 1,16 mm. – C 2187	35
Fig. 149. <i>Dentalina debilis</i> (BERTHELIN 1880).	35
Plaisance Hill West. – a) von vorn, b) von oben. – Länge: 1,51 mm. – C 2211 .	35
Fig. 150. <i>Nodosaria sceptrum</i> REUSS 1863.	35
Tabaquite-Nariva Road. – a) von vorn, b) von oben. – Länge: 0,9 mm. – C 2190/2	35
Fig. 151. <i>Nodosaria paupercula</i> REUSS 1845–46.	36
Toco Bay. – a) von vorn, b) von oben. – Länge: 0,46 mm. – C 2204/1 . . . . .	36
Fig. 152. <i>Nodosaria</i> cf. <i>chapmani</i> TAPPAN 1940.	36
Plaisance Hill West. – a) von vorn, b) von oben. – Länge: 0,96 mm. – b) Etwas er- gänzt, da die Mündung beim Belegexemplar ausgebrochen ist. – C 2188	36
Fig. 153–155. <i>Pseudoglandulina humilis</i> (ROEMER 1841).	37
153: Plaisance Hill West. – Länge: 0,73 mm. – Zylindrische Gehäuseform. – C 2195.	
154–155: Tabaquite-Nariva Road. – 154, 155a: von vorn, 155b: von oben. – Länge: 0,49 mm (Fig. 154), 0,94 mm (Fig. 155). – Konische Gehäuseform. – C 2196/1–2 . . . . .	37
Fig. 156. <i>Pseudoglandulina mutabilis</i> (REUSS 1863).	37
Plaisance Hill West. – Länge: 0,98 mm. – C 2197 . . . . .	37
Fig. 157–158. <i>Lingulina praelonga</i> DAM 1946.	38
Plaisance Hill West. – 157a, 158: von vorn, 157b: von oben. – Länge: 0,45 mm (Fig. 157), 0,82 mm (Fig. 158). – C 2202/1–2 . . . . .	38
Fig. 159. <i>Citharina acuminata</i> (REUSS 1863).	39
Station Road. – a) von vorn, b) von Seite. – Länge: 0,83 mm. – C 2181 . . . .	39
Fig. 160–162. <i>Lagenia laevis</i> (MONTAGU 1803).	40
Toco Bay. – a) von vorn, b) von oben. – Länge: 0,29 mm (Fig. 160), 0,22 mm (Fig. 161–162). – Bei Fig. 161 handelt es sich möglicherweise um eine Form mit entosolener Mündung. – C 2203/1–3 . . . . .	40
Fig. 163–164: <i>Guttulina vandenboldi</i> n. sp.	40
163: Station Road. – Holotypus. – a) von vorn, b) von oben. – Länge: 0,32 mm. – C 2208/1.	
164: Tabaquite-Nariva Road. – Paratypoid, Jugendexemplar. – a) von vorn, b) von oben. – Länge: 0,25 mm. – C 2180/1 . . . . .	40
Fig. 165. <i>Pyrulina</i> cf. <i>exserta</i> (BERTHELIN 1880).	41
Remanié Boulder Bed. – a) von vorn, b) von oben. – Länge: 0,55 mm. – C 2207	41
Fig. 166. <i>Globulina</i> cf. <i>prisca</i> (REUSS 1863).	41
Tabaquite-Nariva Road. – a) von vorn, b) von oben. – Länge: 0,45 mm. – C 2210/1	41
Fig. 167. <i>Ramulina fusiformis</i> (KHAN 1950).	41
Remanié Boulder Bed. – a) von vorn, b) von oben. – Länge: 0,35 mm. – C 2209/1	41
Fig. 168–169. <i>Gavelinella barremiana</i> BETTENSTAEDT 1952.	47
168: Station Road. – a) Spiralseite, b) Umbilicarseite, c) Querschnitt. – Durch- messer: 0,37 mm.	
169: Remanié Boulder Bed. – a) Spiralseite, b) Umbilicarseite, c) Querschnitt. – Durchmesser: 0,37 mm. – C 2218/1–2 . . . . .	47
Fig. 170. <i>Epistomina</i> [Brotzenia] <i>hechti</i> n. sp.	46
Station Road. – Paratypoid. – a) Spiralseite, b) Umbilicarseite, c) Querschnitt. – Durchmesser: 0,4 mm. – C 2217 . . . . .	46



## ERKLÄRUNG ZU TAFEL VIII

### *Globorotalites bartensteini intercedens aus der Unterkreide von Trinidad*

Vergrösserung etwa 55:1, siehe Maßstab (1 mm)

Fig. 171–202. *Globorotalites bartensteini intercedens* BETTENSTAEDT 1952 . . . . . 48

171 a: Spiralseite.

171 b: Umbilicarseite.

171 c, 172–202: Mündungsseite (Länge = grösster Durchmesser).

171–185: Plaisance Hill West. – C 2220/1–3, C 2221/1–11. (Gehäuse der Fig. 176 verloren!).

186–190: Tabaquite-Nariva Road. – C 2222/1–5.

191, 192: Remanié Boulder Bed. – C 2223/1–2.

193–202: Station Road. – C 2224/1–3, C 2225/1–2, C 2226/1–5.

